## Sur des faces du LR-cône généralisé

# Pierre-Louis Montagard et Nicolas Ressayre

April 30, 2017

## 1 Résumé

Soient  $G \subset \hat{G}$  deux groupes réductifs connexes. Notons  $\mathcal{D}$  (resp.  $\hat{\mathcal{D}}$ ) l'ensemble des classes d'isomorphisme des représentations irréductibles de G (resp.  $\hat{G}$ ). Nous nous intéressons à l'ensemble  $\mathcal{C}$  des couples  $(\mu, \hat{\nu})$  dans  $\mathcal{D} \times \hat{\mathcal{D}}$  pour lesquels un  $\hat{G}$ -module de classe  $\hat{\nu}$  contient un sous-G-module de classe  $\mu$ . Il est bien connu que  $\mathcal{C}$  engendre un cône polyédral dans un espace vectoriel approprié. Par des méthodes de théorie géométrique des invariants nous étudions sous quelles conditions une inégalité linéaire définissant  $\mathcal{D}$  induit une face de codimension un du cône engendré par  $\mathcal{C}$ .

## 2 Introduction

Soit k un corps algébriquement clos de caractéristique nulle. Soient  $G \subset \hat{G}$  deux groupes algébriques réductifs connexes sur k. Soit  $\hat{V}$  une représentation rationnelle de dimension finie de  $\hat{G}$ . Le problème général que l'on aborde ici est de décomposer  $\hat{V}$  en somme de G-modules irréductibles. Remarquons que ce contexte recouvre de nombreux problèmes de décomposition de représentations. Citons en deux :

- si  $\hat{G} = G \times G$  et si G est la diagonale de  $\hat{G}$ , il s'agit de décomposer le produit tensoriel de deux représentations irréductibles de G;
- soit G un groupe réductif quelconque et  $\rho: G \to \mathrm{Gl}(V)$  une représentation irréductible de G, on peut alors poser  $\hat{G} := \mathrm{Gl}(V)$  et considérer l'inclusion  $\rho(G) \subset \hat{G}$ , le problème est alors de décomposer des représentations de G telles que la puissance symétrique n-ième  $S^nV$  de V, la puissance extérieure k-ième  $\Lambda^kV$  de V, ou plus généralement de décomposer les puissances de Schur  $S_{\pi}V$ .

Dans ce contexte très général, on ne cherche pas à donner des formules combinatoires explicites de décomposition comme la célèbre règle de Littlewood-Richardson concernant la décomposition du produit tensoriel pour le groupe linéaire. Notre approche est plus qualitative à travers le cône de Littlewood-Richardson généralisé que nous allons définir, après avoir introduit quelques notations supplémentaires.

Nous noterons  $\mathcal{D}$  (resp.  $\hat{\mathcal{D}}$ ) l'ensemble des classes d'isomorphismes de représentations irréductibles de G (resp.  $\hat{G}$ ). Pour  $\nu \in \mathcal{D}$  (resp.  $\hat{\nu} \in \hat{\mathcal{D}}$ ) nous noterons  $V_{\nu}$  (resp.  $V_{\hat{\nu}}$ ) une représentation irréductible de G (resp.  $\hat{G}$ ) dans la classe  $\nu$  (resp.  $\hat{\nu}$ ). Si V est une représentation de G nous noterons  $(V_{\nu}, V)$  la multiplicité de  $V_{\nu}$  dans V, c'est-à-dire la dimension de l'espace des homomorphismes G-équivariants de  $V_{\nu}$  vers V. Nous nous intéressons à l'ensemble :

$$\mathcal{C} := \{ (\mu, \hat{\nu}) \in \mathcal{D} \times \hat{\mathcal{D}} \mid (V_{\mu}, V_{\hat{\nu}}) \neq 0 \}.$$

Les ensembles  $\mathcal{D}$  et  $\hat{\mathcal{D}}$  ont une structure naturelle de semi-groupes. De plus, M. Brion et F. Knop ont montré (voir [Ela92]) que  $\mathcal{C}$  est un sous-semigroupe de type fini de  $\mathcal{D} \times \mathcal{D}$ . Dans le cas du produit tensoriel pour le groupe linéaire ce semi-groupe a été appelé semi-groupe de Littlewood-Richardson (voir [Zel99]). Comme  $\mathcal{D}$  (resp.  $\mathcal{D}$ ) est en bijection avec les points entiers d'un cône d'un  $\mathbb{Q}$ -espace vectoriel que nous appellerons provisoirement E (resp. E),  $\mathcal{C}$  engendre un cône polyédral  $\mathcal{C}$  dans  $E \times \mathcal{E}$ . Nous appelons ce dernier cône de Littlewood- $Richardson\ généralisé$ , ou plus brièvement LR-cône généralisé. Comme  $\tilde{\mathcal{C}}$  est polyédral, il est défini dans  $E \times E$  par un nombre fini d'inégalités linéaires correspondantes aux faces de codimension un, faces que nous appellerons essentielles. Par la suite, pour une partie  $\mathcal E$  d'un espace vectoriel nous appellerons dimension de  $\mathcal{E}$  et noterons dim $\mathcal{E}$  la dimension de l'espace vectoriel engendré par  $\mathcal{E}$ . Soit  $\mathcal{F}$  l'espace vectoriel engendré par une face du cône engendré par  $\mathcal{D}$ . Il induit naturellement une «face»  $\mathcal{C}_{\mathcal{F}}$  de  $\mathcal{C}$  définie par :  $\mathcal{C}_{\mathcal{F}} := \mathcal{C} \cap (\mathcal{F} \times E)$ . Le but de cet article est d'étudier la dimension de  $\mathcal{C}_{\mathcal{F}}$  et notamment de savoir si elle engendre une face essentielle de  $\hat{\mathcal{C}}$ . Remarquons que dans le cas du produit tensoriel pour le groupe linéaire GL(V), Knutson, Terao et Woodward [KTW04] décrivent toutes les faces essentielles de  $\mathcal{C}$ , et montrent notamment que si  $\mathcal{F}$  est une face essentielle de  $\mathcal{D}$ , alors elle induit une face essentielle de  $\mathcal{C}$  dès que la dimension de V est supérieure ou égale à 3. Nous retrouvons et élargissons ce résultat dans la proposition 7.

Dans le cas général, des considérations élémentaires (voir le lemme 1) permettent de montrer que la codimension de  $\mathcal{C}_{\mathcal{F}}$  dans  $\mathcal{C}$  est supérieure ou égale à la codimension de  $\mathcal{F}$  dans  $\mathcal{D}$ . Cette inégalité se traduit par  $\delta_{\mathcal{F}} := \dim \mathcal{F} - \dim \mathcal{C}_{\mathcal{F}} - \dim \mathcal{D} + \dim \mathcal{C} \geq 0$ . On dit que  $\mathcal{F}$  est pleine si  $\delta_{\mathcal{F}} = 0$ , c'est-à-dire si  $\dim \mathcal{C}_{\mathcal{F}}$  est maximale. En particulier, si  $\mathcal{F}$  provient d'une face essentielle de  $\mathcal{D}$ , alors  $\delta_{\mathcal{F}} = 0$  est équivalent au fait que  $\mathcal{C}_{\mathcal{F}}$  soit essentielle dans  $\mathcal{C}$ . On peut maintenant énoncer un de nos résultats : (voir le corollaire 2)

**Théorème A** Soit  $\mathcal{F}_1$  et  $\mathcal{F}_2$  deux sous-espaces de E engendrés par deux faces du cône engendré par  $\mathcal{D}$ . Si  $\mathcal{F}_1 \subset \mathcal{F}_2$ , alors  $\delta_{\mathcal{F}_1} \geq \delta_{\mathcal{F}_2}$ .

Nous présentons également dans ce travail une condition équivalente au fait que  $\mathcal{F}$  soit pleine. Pour pouvoir énoncer celle-ci, nous allons introduire quelques définitions supplémentaires.

De manière classique (voir la section 4), on associe à  $\mathcal{F}$  un groupe parabolique P de G; le groupe P se décompose en un produit semi-direct  $P^u \rtimes L$ , où  $P^u$  est le radical unipotent de P et L un sous-groupe de Lévi. Dans la section 5, nous montrons alors qu'il existe un

sous-groupe parabolique  $\hat{P}$  de  $\hat{G}$  et une décomposition de Lévi de celui-ci :  $\hat{P} = \hat{P}^u \rtimes \hat{L}$  qui vérifient :  $P = \hat{P} \cap G$  ;  $P^u = \hat{P}^u \cap G$  et  $L = \hat{L} \cap G$ .

Nous noterons  $\mathfrak{p}^u$  (resp.  $\hat{\mathfrak{p}}^u$ ), l'algèbre de Lie de  $P^u$  (resp.  $\hat{P}^u$ ) et  $B_L$  (resp.  $B_{\hat{L}}$ ) un sous-groupe de Borel de L (resp.  $\hat{L}$ ). Enfin rappelons que si un groupe algébrique  $\Gamma$  agit sur une variété X, on appelle isotropie réductive de  $\Gamma$  en  $x \in X$ , le quotient de  $\Gamma_x$  par son radical unipotent. Le groupe  $\hat{L}$  agit sur  $\hat{\mathfrak{p}}^u$  par la représentation adjointe et  $L \subset \hat{L}$  stabilise  $p^u$ ; donc, L agit sur  $\hat{\mathfrak{p}}^u/\mathfrak{p}^u$ . De plus,  $\hat{L}$  et donc L agissent sur  $\hat{L}/B_{\hat{L}}$  par multiplication. Finalement, L agit sur  $\hat{\mathfrak{p}}^u/\mathfrak{p}^u \times \hat{L}/B_{\hat{L}}$  diagonalement. On peut maintenant énoncer le (voir le corollaire 3):

**Théorème B** Il existe un ouvert non vide  $\Omega$  de  $\hat{\mathfrak{p}}^u/\mathfrak{p}^u \times \hat{L}/B_{\hat{L}}$  tel que pour tout  $x \in \Omega$ ,  $\delta_{\mathcal{F}}$  est égal à la différence des dimensions des isotropies réductives des groupes L et  $B_L$  en x.

Une conséquence immédiate des théorèmes A et B est le :

**Théorème** C S'il existe un point de  $\hat{G}/\hat{B}$  dont l'isotropie dans le groupe dérivé de G est finie, alors toutes les faces de  $\mathcal{D}$  sont pleines.

Dans la section 7, nous appliquons ce dernier résultat à divers exemples.

Remarquons que  $\mathcal{C}$  est très lié au polytope moment défini dans un cadre symplectique. La propriété d'être pleine s'interprète en terme de ces polytopes, voir la proposition 2.

## 3 Premières propriétés

#### 3.1 Notations

Commençons par quelques notations générales : si  $\Gamma$  est un groupe algébrique affine sur k, nous noterons  $\Gamma^u$  son radical unipotent,  $[\Gamma, \Gamma]$  son groupe dérivé,  $\Gamma^\circ$  sa composante neutre,  $\Xi(\Gamma) = \operatorname{Hom}(\Gamma, k^*)$  le groupe de ses caractères,  $\Xi_*(\Gamma) = \operatorname{Hom}(k^*, \Gamma)$  le groupe de ses sous-groupes à un paramètre et  $\operatorname{Lie}(\Gamma)$  son algèbre de  $\operatorname{Lie}$ . Dans tout cet article, nous appelons variété, une variété algébrique quasi-projective et irréductible. Si  $\Gamma$  opère algébriquement sur une variété X on dit que X est une  $\Gamma$ -variété. On note  $\operatorname{Ker}(\Gamma \longrightarrow \operatorname{Aut}(X))$  le noyau de l'action de  $\Gamma$  sur X. Si X est affine et l'algèbre  $k[X]^{\Gamma}$  des fonctions régulières sur X invariantes par  $\Gamma$  est de type fini,  $X//\Gamma$  désignera la variété affine associée à  $k[X]^{\Gamma}$ . L'inclusion de  $k[X]^{\Gamma}$  dans k[X] induit un morphisme dominant et  $\Gamma$ -invariant  $\pi: X \longrightarrow X//\Gamma$  que nous appelons morphisme quotient. Si V est un  $\mathbb{Q}$ -espace vectoriel et si  $\mathcal{E}$  est un sous-ensemble de V, nous noterons K0 l'espace vectoriel engendré par K1, dim K2 la dimension de K3 l'espace vectoriel engendré par K4, dim K5 la dimension de K6 l'espace vectoriel engendré par K6, dim K8 la dimension de K9 désignera le K9 espace vectoriel K9 espace vectoriel engendré par K9 designera le K9 espace vectoriel K9 espace vectoriel K9 espace vectoriel engendré par K9 est un groupe commutatif K9 désignera le K9 espace vectoriel K9 espace vectoriel K9 espace vectoriel engendré par K9 est un groupe commutatif K9 désignera le K9 espace vectoriel engendré par K9 est un groupe commutatif K9 espace vectoriel K9 espace vectoriel K9 espace vectoriel engendré par K9 espace vectoriel K9 e

Rappelons que nous considérons deux groupes algébriques réductifs connexes  $G \subset \hat{G}$ . Fixons, pour tout l'article, un tore maximal T de G et un sous-groupe de Borel B de G. L'ensemble  $\mathcal{D}$  s'identifie alors naturellement au sous-ensemble des poids dominants de  $\Xi(T)$ . Si  $\mu \in \mathcal{D}$ , nous noterons  $V_{\mu}$  une représentation irréductible de poids dominant  $\mu$ .

Soit  $\hat{T} \subset \hat{B}$  un tore maximal et un sous-groupe de Borel de  $\hat{G}$ . La notation  $V_{\hat{\nu}}$  désigne une représentation irréductible de  $\hat{G}$  de plus haut poids  $\hat{\nu}$ .

## 3.2 Énoncé du problème

Rappelons que nous nous intéressons à

$$\mathcal{C} := \{ (\mu, \nu) \in \mathcal{D} \times \hat{\mathcal{D}} \mid (V_{\mu}, V_{\hat{\nu}}) \neq 0 \}.$$

Soit  $\mathcal{F}$  le sous-espace vectoriel de  $\Xi(T)_{\mathbb{Q}}$  engendré par une face du cône engendré par  $\mathcal{D}$ . Dans la suite, par abus de notation, nous appellerons  $\mathcal{F}$  une face de  $\mathcal{D}$ . On pose alors :

$$\mathcal{C}_{\mathcal{F}} := \mathcal{C} \cap \left(\mathcal{F} \times \Xi_{\mathbb{Q}}(\hat{T})\right)$$
.

Dans cet article, nous cherchons à comparer la codimension de  $\mathcal{F}$  dans  $\Xi(T)_{\mathbb{Q}}$  à celle de  $\mathcal{C}_{\mathcal{F}}$  dans  $\mathcal{C}$ . Pour cela on pose  $\delta_{\mathcal{F}} = \dim \mathcal{C} - \dim \mathcal{C}_{\mathcal{F}} + \dim \mathcal{F} - \dim \Xi(T)$ .

Lemme 1 On a l'égalité :

$$\dim(\langle \mathcal{C} \rangle \cap (\mathcal{F} \times \Xi(\hat{T})_{\mathbb{Q}})) = \dim(\mathcal{C}) - \dim(\Xi(T)) + \dim(\mathcal{F}).$$

En particulier,  $\delta_{\mathcal{F}} \geq 0$ .

PREUVE. Posons  $d = \dim \mathcal{C} - \dim \left( (\mathcal{F} \times \Xi(\hat{T})_{\mathbb{Q}}) \cap (<\mathcal{C}>) \right)$ . Considérons l'application  $\pi : <\mathcal{C}> \to \Xi(T)_{\mathbb{Q}}$  induite par la projection de  $\Xi(T)\times\hat{\Xi}(T)$  sur  $\Xi(T)$  et sa transposé  ${}^t\pi : \operatorname{Hom}(\Xi(T)_{\mathbb{Q}},\mathbb{Q}) \to <\mathcal{C}>^* := \operatorname{Hom}(<\mathcal{C}>,\mathbb{Q})$ .

L'entier d est la dimension de l'orthogonal dans  $<\mathcal{C}>^*$  de  $\pi^{-1}(\mathcal{F})$ ; ainsi,  $d=\dim({}^t\pi(\mathcal{F}^{\perp}))$ . Or, comme toute représentation irréductible de G apparaît dans au moins une représentation de  $\hat{G}$ ,  $\pi$  est surjective, donc  ${}^t\pi$  est injective. Ainsi,  $d=\dim(\mathcal{F}^{\perp})=\dim\Xi(T)-\dim\mathcal{F}$ ; et l'égalité du lemme est démontrée.

Comme dim
$$(\langle C \rangle \cap (\mathcal{F} \times \Xi(\hat{T})_{\mathbb{Q}})) \geq \dim \mathcal{C}_{\mathcal{F}}$$
, on en déduit que  $\delta_{\mathcal{F}} \geq 0$ .

On caractérise alors le cas  $\delta_{\mathcal{F}} = 0$  dans la

**Proposition 1** On a équivalence entre :

$$(i) < \mathcal{C}_{\mathcal{F}} > = < \mathcal{C} > \cap \left( \mathcal{F} \times \Xi(\hat{T})_{\mathbb{Q}} \right) ;$$

(ii) 
$$\delta_{\mathcal{F}} = 0$$

On dit alors que la face  $\mathcal{F}$  est pleine.

PREUVE. Il est clair que  $\mathcal{C}_{\mathcal{F}}$  et  $\langle \mathcal{C}_{\mathcal{F}} \rangle$  sont inclus dans  $\langle \mathcal{C} \rangle \cap \left(\mathcal{F} \times \Xi(\hat{T})_{\mathbb{Q}}\right)$ . Alors, l'assertion (i) est équivalente à dim  $\langle \mathcal{C}_{\mathcal{F}} \rangle = \dim \left(\langle \mathcal{C} \rangle \cap (\mathcal{F} \times \Xi(\hat{T})_{\mathbb{Q}})\right)$ . D'après le lemme 1 ceci équivaut à dim  $\mathcal{C}_{\mathcal{F}} = \dim \mathcal{C} - \dim \Xi(T) + \dim \mathcal{F}$ , soit  $\delta_{\mathcal{F}} = 0$ .

#### 3.3 Relations avec le polytope moment

Soit  $\hat{\nu} \in \hat{\mathcal{D}}$ , posons :

$$P_{\hat{\nu}} = \{ \frac{\mu}{n} \in \Xi(T)_{\mathbb{Q}}, (\mu, n\hat{\nu}) \in \mathcal{C} \}.$$

Considérons  $\hat{\mathcal{B}} := \hat{G}/\hat{B}_{-}$  la variété des drapeaux de  $\hat{G}$ . Alors il existe un unique fibré en droite  $\hat{G}$ -linéarisé  $\mathcal{L}_{\hat{\nu}}$  sur  $\hat{\mathcal{B}}$  tel que  $\hat{B}_{-}$  agisse par le caractère  $-\hat{\nu}$  sur la fibre au dessus de  $\hat{B}_{-}/\hat{B}_{-}$ . Pour tout entier n, le  $\hat{G}$ -module des sections globales de  $\mathcal{L}_{n\hat{\nu}}$  est isomorphe à  $V_{n\hat{\nu}}$ . Mais alors  $P_{\hat{\nu}}$  est le polytope moment associé à  $\mathcal{L}_{\hat{\nu}}$  pour l'action de G sur  $\hat{\mathcal{B}}$ . Ce polytope moment est directement lié au polytope moment des géomètres symplecticiens, voir l'appendice de Mumford dans [Nes84], et également [Bri87]. Les polytopes moments associés au décomposition de représentations ont été étudiés notamment dans [BS00], [Man97] et [Bri99].

La propriété d'être pleine s'interprète aussi en termes de ces polytopes, si on suppose que  $\langle \mathcal{C} \rangle = \Xi(T)_{\mathbb{Q}} \otimes \Xi(\hat{T})_{\mathbb{Q}}$ . Remarquons que cette hypothèse est vérifiée notamment lorsque G est simple et non distingué dans  $\hat{G}$ , voir le corollaire 1 ci-après.

**Proposition 2** Supposons que  $\langle \mathcal{C} \rangle = \Xi(T)_{\mathbb{Q}} \otimes \Xi(\hat{T})_{\mathbb{Q}}$ ; si  $\mathcal{F}$  est une face pleine  $\mathcal{D}$ , alors il existe un convexe  $\Omega \subset \hat{\mathcal{D}}$  de dimension  $\dim \hat{\mathcal{D}}$  tel que pour tout  $\hat{\nu} \in \Omega$ ,  $\dim P_{\hat{\nu}} - \dim(P_{\hat{\nu}} \cap \mathcal{F}) = \dim \Xi(T) - \dim \mathcal{F}$ .

PREUVE.

Soit  $\pi$  la projection de  $\Xi(T)_{\mathbb{Q}} \times \Xi(\hat{T})_{\mathbb{Q}}$  sur  $\Xi(\hat{T})_{\mathbb{Q}}$ . Posons pour tout  $\hat{\nu} \in \hat{\mathcal{D}}$ ,  $H_{\hat{\nu}} = \Xi(T)_{\mathbb{Q}} \times \mathbb{Q}.\hat{\nu}$ ,  $\tilde{P}_{\hat{\nu}} = \mathcal{C} \cap H_{\hat{\nu}}$  et  $\tilde{\mathcal{F}} = \mathcal{F} \times \Xi(\hat{T})_{\mathbb{Q}}$ . Il est clair que :

$$\dim P_{\hat{\nu}} - \dim(P_{\hat{\nu}} \cap \mathcal{F}) = \dim \tilde{P}_{\hat{\nu}} - \dim(\tilde{P}_{\hat{\nu}} \cap \tilde{\mathcal{F}}) ;$$

d'autre part, comme  $\mathcal{F}$  est pleine, on a égalité :

$$\dim \Xi(T) - \dim \mathcal{F} = \dim \mathcal{C} - \dim(\mathcal{C} \cap \tilde{\mathcal{F}}).$$

Il suffit donc de montrer que :

$$\dim \mathcal{C} - \dim(\mathcal{C} \cap \tilde{\mathcal{F}}) = \dim \tilde{P}_{\hat{\nu}} - \dim(\tilde{P}_{\hat{\nu}} \cap \tilde{\mathcal{F}})$$

pour  $\hat{\nu}$  dans un sous-ensemble convexe de  $\hat{\mathcal{D}}$  de dimension maximale. Des raisonnements élémentaires de géométrie convexe montre que :

$$\dim \mathcal{C} \ge \dim \tilde{P}_{\hat{\nu}} + \dim \pi(\mathcal{C}) - 1 \tag{1}$$

pour tout  $\hat{\nu} \in \hat{\mathcal{D}}$ , avec égalité si  $\hat{\nu} \in X_{\mathcal{C}}$ , où  $X_{\mathcal{C}}$  est l'ensemble convexe des points  $\hat{\nu} \in \hat{\mathcal{D}}$  tels que  $H_{\hat{\nu}}$  rencontre l'intérieur de  $\mathcal{C}$ . De même,

$$\dim(\mathcal{C} \cap \tilde{\mathcal{F}}) \ge \dim(\tilde{P}_{\hat{\nu}} \cap \tilde{\mathcal{F}}) + \dim \pi(\mathcal{C} \cap \tilde{\mathcal{F}}) - 1 \tag{2}$$

pour tout  $\hat{\nu} \in \hat{\mathcal{D}}$ , avec égalité si  $\hat{\nu} \in X_{\mathcal{C}_{\mathcal{F}}}$ , où  $X_{\mathcal{C}_{\mathcal{F}}}$  est l'ensemble convexe des points  $\hat{\nu} \in \hat{\mathcal{D}}$  tels que  $H_{\hat{\nu}}$  rencontre l'intérieur de  $\mathcal{C} \cap \tilde{\mathcal{F}}$ . On a l'inclusion  $X_{\mathcal{C}_{\mathcal{F}}} \subset X_{\mathcal{C}}$ . En effet si  $\hat{\nu} \in X_{\mathcal{C}_{\mathcal{F}}}$ , alors  $\hat{\nu} \in X_{\mathcal{C}}$ , à moins que  $\tilde{P}_{\hat{\nu}} \subset \tilde{P}_{\hat{\nu}} \cap \tilde{\mathcal{F}}$ . Cette inclusion implique :

$$<\mathcal{C}>\cap H_{\hat{\nu}}\subset<\mathcal{C}>\cap H_{\hat{\nu}}\cap\tilde{\mathcal{F}}$$

ce qui contredit  $\langle \mathcal{C} \rangle = \Xi(T)_{\mathbb{Q}} \otimes \Xi(\hat{T})_{\mathbb{Q}}$ .

Soit  $\hat{\nu} \in X_{\mathcal{C}_{\mathcal{F}}}$ , alors on est dans le cas d'égalité des inéquations 1 et 2. On en déduit que :

$$\dim \mathcal{C} - \dim(\mathcal{C} \cap \tilde{\mathcal{F}}) = \dim \tilde{P}_{\hat{\nu}} - \dim(\tilde{P}_{\hat{\nu}} \cap \tilde{\mathcal{F}}) + \dim \pi(\mathcal{C}) - \dim \pi(\mathcal{C} \cap \tilde{\mathcal{F}}).$$

Puisque  $\mathcal{F}$  est pleine, d'après la proposition 1,

$$<\mathcal{C}\cap \tilde{\mathcal{F}}>=<\mathcal{C}>\cap \tilde{\mathcal{F}}$$

et donc:

$$\dim \pi(\mathcal{C} \cap \tilde{\mathcal{F}}) = \dim \pi(\langle \mathcal{C} \rangle \cap \tilde{\mathcal{F}}) = \dim \pi(\tilde{\mathcal{F}}) = \dim \pi(\mathcal{C}) = \dim \hat{\mathcal{D}}.$$

Ce qui conclut la preuve.

**Remarque.** Si l'on omet l'hypothèse  $\langle \mathcal{C} \rangle = \Xi(T)_{\mathbb{Q}} \otimes \Xi(\hat{T})_{\mathbb{Q}}$ , le résultat de la proposition n'est plus vrai. On peut considérer l'exemple  $G = H_1 \times H_2$  et  $\hat{G} = H_1 \times \hat{H}_2$ , où  $H_2$  est un sous-groupe de  $\hat{H}_2$  et  $\mathcal{F}$  une face de la chambre dominante de  $H_1$ .

## 4 Noyaux d'action d'un tore

Considérons le sous-groupe de Levi L de G contenant T et dont les racines sont celles de G orthogonales à  $\mathcal{F}$ . Soit U le radical unipotent de B et P le sous-groupe parabolique de G engendré par U et L. Posons enfin D := [L, L] et  $T_D := D \cap T$ . Soit  $\hat{U}^-$  le radical unipotent du sous-groupe de Borel  $\hat{B}^-$  opposé à  $\hat{B}$  et contenant  $\hat{T}$ . On montre alors la

**Proposition 3** L'ensemble des poids de l'action de  $T \times \hat{T}$  sur  $k[\hat{G}]^{[P,P] \times \hat{U}^-}$  est égal à  $\mathcal{C}_{\mathcal{F}}$ .

PREUVE. D'après le théorème de Frobenius, le  $\hat{G} \times \hat{G}$ -module rationnel  $k[\hat{G}]$  se décompose comme suit :

$$k[\hat{G}] = \bigoplus_{\hat{\nu} \in \hat{\mathcal{D}}} V_{\hat{\nu}} \otimes V_{\hat{\nu}}^*,$$

d'où:

$$k[\hat{G}]^{[P,P]\times \hat{U}^-} = \bigoplus_{\hat{\nu}\in\hat{\mathcal{D}}} V_{\hat{\nu}}^{[P,P]} \otimes V_{\hat{\nu}}^{*\hat{U}^-}.$$

or  $\hat{T}$  agit sur  $V_{\hat{\nu}}^{*\hat{U}^-}$  par  $\hat{\nu}$ . Ainsi, l'ensemble des poids de  $T \times \hat{T}$  dans  $k[\hat{G}]^{[P,P]\times\hat{U}^-}$  est égal à l'ensemble des couples  $(\mu,\hat{\nu}) \in \Xi(T) \times \Xi(\hat{T})$  tels que  $\hat{\nu} \in \hat{D}$  et  $\mu$  est un poids de T dans  $V_{\hat{\nu}}^{[P,P]}$ . Or il est bien connu que  $V_{\mu}^{[P,P]} \neq 0$  si et seulement si  $\mu$  appartient à  $\mathcal{F}$  ce qui conclut la preuve.

Posons 
$$\mathcal{C}_{\mathcal{F}}^{\vee}:=\{(t,\hat{t})\in T\times \hat{T}\ :\ \forall (\mu,\nu)\in \mathcal{C}_{\mathcal{F}}\ \mu(t)\hat{\nu}(\hat{t})=1\}$$
; alors on a la

**Proposition 4** Le groupe  $C_F^{\vee}$  est le noyau de l'action de  $T \times \hat{T}$  sur la variété  $[P, P] \setminus \hat{G} / \hat{U}^-$ .

PREUVE. D'après la proposition 3,  $\mathcal{C}_{\mathcal{F}}^{\vee}$  est l'ensemble des couples  $(t,\hat{t}) \in T \times \hat{T}$  qui agissent trivialement sur  $k\left[[P,P]\backslash\backslash\hat{G}//\hat{U}^{-}\right]$ , d'où la proposition.

## 5 Choix de $\hat{T}$ et $\hat{B}$

La proposition 4 est vrai quelque soit le choix de  $\hat{T}$  et  $\hat{B}$ . Dans cette section, nous allons choisir deux tels sous-groupes de  $\hat{G}$  de sorte qu'il soit facile grâce à la décomposition de Bruhat de décrire un ouvert de  $[P, P] \setminus \hat{G} / \hat{U}^-$  stable par  $T \times \hat{T}$ .

Un de nos objectifs est le corollaire 2 ci-après qui compare  $\delta_{\mathcal{F}_1}$  et  $\delta_{\mathcal{F}_2}$  si  $\mathcal{F}_1$  et  $\mathcal{F}_2$  sont deux faces de  $\mathcal{D}$  telles que  $\mathcal{F}_1 \subset \mathcal{F}_2$ . C'est pourquoi nous nous donnons ici deux telles faces de  $\mathcal{D}$ .

Rappelons que nous avons fixé les sous-groupes  $T \subset B$  et les faces  $\mathcal{F}_1 \subset \mathcal{F}_2$ . Pour i=1, 2, nous définissons alors comme dans la section 4 les sous-groupes  $T_{D_i}$ ,  $D_i$ ,  $L_i$  et  $P_i$ . L'inclusion de  $\mathcal{F}_1$  dans  $\mathcal{F}_2$  implique que  $P_2 \subset P_1$  et  $L_2 \subset L_1$ . En revanche,  $\hat{T}$  et  $\hat{B}$  ne sont pas supposés donnés ici.

Soit i=1 ou 2. Notons  $S_i$  le centre connexe de  $L_i$ . Considérons alors le centralisateur  $\hat{L}_i$  de  $S_i$  dans  $\hat{G}$ . Notons  $\hat{D}_i$  le sous-groupe dérivé de  $\hat{L}_i$  et  $\hat{S}_i$  le centre connexe de  $\hat{L}_i$ . On a alors :

$$L_i = \hat{L}_i \cap G \tag{3}$$

$$\hat{L}_2 \subset \hat{L}_1 \tag{4}$$

On veut maintenant construire des sous-groupes paraboliques  $\hat{P}_i$  de  $\hat{G}$  ayant des propriétés analogues à (3).

Pour i = 1, 2, on note  $\operatorname{St}_i(G)$  (resp.  $\operatorname{St}_i(\hat{G})$ ) l'ensemble des poids non triviaux de  $S_i$  dans  $\operatorname{Lie}(G)$  (resp.  $\operatorname{Lie}(\hat{G})$ ). Pour tout  $\alpha \in \Xi(S_i)$ , on note  $\mathcal{H}_i^{\alpha}$  le sous-espace vectoriel de  $\Xi_*(S_i)_{\mathbb{Q}}$  engendré par les sous-groupes à un paramètre  $\lambda$  de  $S_i$  tels que  $\alpha \circ \lambda$  est trivial. Posons :

$$C^{i} = \left\{ \lambda \in \Xi_{*}(S_{i}) : P_{i} = \left\{ g \in G : \lim_{t \to 0} \lambda(t)g\lambda(t)^{-1} \text{ existe} \right\} \right\}.$$

Alors,  $C^i$  est l'intersection de  $\Xi_*(S_i)$  et d'une composante connexe  $C^i_{\mathbb{Q}}$  du complémentaire de  $\bigcup_{\alpha \in \operatorname{St}_i(G)} \mathcal{H}^{\alpha}_i$  dans  $\Xi_*(S_i)_{\mathbb{Q}}$ . De plus, comme  $P_2 \subset P_1$ , via l'inclusion naturelle de  $\Xi_*(S_1)$  dans  $\Xi_*(S_2)$ ,  $C^1_{\mathbb{Q}}$  est inclus dans l'adhérence de  $C^2_{\mathbb{Q}}$ .

Considérons  $\hat{C}^1_{\mathbb{Q}}$  et  $\hat{C}^2_{\mathbb{Q}}$  deux composantes connexes de  $\Xi_*(S_1)_{\mathbb{Q}} \setminus \bigcup_{\alpha \in \operatorname{St}_1(\hat{G})} \mathcal{H}_1^{\alpha}$  et  $\Xi_*(S_2)_{\mathbb{Q}} \setminus \bigcup_{\alpha \in \operatorname{St}_2(\hat{G})} \mathcal{H}_2^{\alpha}$  telles que  $\hat{C}^1_{\mathbb{Q}} \subset C^1_{\mathbb{Q}}$ ,  $\hat{C}^2_{\mathbb{Q}} \subset C^2_{\mathbb{Q}}$  et  $\hat{C}^1_{\mathbb{Q}}$  soit inclus dans l'adhérence de  $\hat{C}^2_{\mathbb{Q}}$ . Pour i = 1, 2, on fixe  $\lambda_i$  dans  $\Xi_*(S_i) \cap \hat{C}^i_{\mathbb{Q}}$ . Posons alors,

$$\hat{P}_i = \{ g \in \hat{G} : \lim_{t \to 0} \lambda_i(t) g \lambda_i(t^{-1}) \text{ existe} \}.$$

On a alors,

$$\hat{P}_2 \subset \hat{P}_1 \tag{5}$$

$$P_i = \hat{P}_i \cap G. \tag{6}$$

De plus, comme  $\hat{P}_i^u = \{g \in \hat{G} : \lim_{t \to 0} \lambda_i(t)g\lambda_i(t^{-1}) = 1\}, \text{ on a : }$ 

$$P_i^u = \hat{P}_i^u \cap G. \tag{7}$$

Soit enfin  $\hat{B}_{D_1}$  un sous-groupe de Borel de  $\hat{D}_1$  contenant  $B_{D_1}$ . Posons  $\hat{B}_{D_2} = \hat{B}_{D_1} \cap \hat{D}_2$ . Alors,  $\hat{B}_{D_2}$  est un sous-groupe de Borel de  $\hat{D}_2$ . De plus, on a :

$$\hat{B}_{D_2} = \hat{B}_{D_1} \cap \hat{D}_2, \tag{8}$$

$$B_{D_i} = \hat{B}_{D_i} \cap G. \tag{9}$$

Soit  $\hat{T}_{D_1}$  un tore maximal de  $\hat{B}_{D_1}$  contenant  $T_{D_1}$ . Posons alors  $\hat{T}_{D_2} = \hat{T}_{D_1} \cap \hat{D}_2$  et  $\hat{T} = \hat{S}_1 \hat{T}_{D_1} = \hat{S}_2 \hat{T}_{D_2}$ . Alors, on a

$$T_{D_i} = (\hat{T}_{D_i} \cap G)^{\circ}. \tag{10}$$

### 6 Réductions

Nous allons dans cette section exprimer  $\mathcal{C}_{\mathcal{F}_1}^{\vee}$  et  $\mathcal{C}_{\mathcal{F}_2}^{\vee}$  comme noyaux d'une action du tore  $T \times \hat{T}$  sur deux variétés « comparables » ce qui permettra de comparer les dimensions de  $\mathcal{C}_{\mathcal{F}_1}$  et  $\mathcal{C}_{\mathcal{F}_2}$ . Nous rappelons d'abord plusieurs lemmes bien connus sur les actions de groupes algébriques.

## 6.1 Rappels

**Lemme 2** Soit G un groupe algébrique affine agissant sur une variété affine X tels que  $k[X]^G$  soit de type fini. Notons  $\pi: X \to X//G$  l'application quotient. Alors, se valent :

- (i)  $k(X)^G = \operatorname{Frac}(k[X]^G)$ ;
- (ii) il existe un ouvert non vide  $\Omega$  de X//G tel que pour  $x \in \Omega$ ,  $\pi^{-1}(x)$  contient une unique orbite ouverte de G.

On dit alors que le quotient X//G est rationnel.

Preuve. Voir la section 2.4 p156 de [PV91].

**Lemme 3** Soit G un groupe algébrique affine tel que  $\Xi(G) = 1$  et soit X une G-variété affine. Si k[X] est factorielle alors  $k[X]^G$  l'est aussi.

PREUVE. Voir [PV91] Theorem 3.17 p176.

**Lemme 4** Soit G un groupe algébrique affine tel que  $\Xi(G) = 1$  et soit X une G-variété factorielle affine. Alors, le corps  $k(X)^G$  des fractions rationnelles G-invariantes sur X est égale au corps des fractions de  $k[X]^G$ .

PREUVE. Voir [PV91] Theorem 3.3 p165.

Le lemme suivant est une conséquence directe des lemmes précédents.

**Lemme 5** Soit G un groupe algébrique tel que  $\Xi(G)=1$ . Soit X et Y deux G-variétés affines telles que :

- (i) les algèbres  $k[X]^G$  et  $k[Y]^G$  sont de type fini ;
- (ii) le quotient Y//G est rationnel;
- (iii) il existe une application  $\varphi: X \to Y$ , G-équivariante et birationnelle;

Alors les variétés X//G et Y//G sont birationnelles.

Enfin, nous terminerons par une lemme concernant l'action d'un tore sur une variété affine dont la démonstration est évidente.

Lemme 6 Soit T un tore agissant sur deux variétés X et Y, alors on a :

- (i) il existe un ouvert non vide  $\Omega$  de X tel que pour tout  $x \in \Omega$ , l'isotropie de T en x est égale au noyau de l'action de T sur X;
- (ii) si f est un morphisme T-équivariant de X dans Y dont les fibres sont génériquement finies, alors  $\operatorname{Ker}(T \longrightarrow \operatorname{Aut}(X))^{\circ} = \operatorname{Ker}(T \longrightarrow \operatorname{Aut}(Y))^{\circ}$ .

Pour i=1, 2, on désigne par  $T_{D_i} \subset D_i \subset L_i \subset P_i$  les sous-groupes associés à  $\mathcal{F}_i$  comme dans la section 4. On a alors les inclusions suivantes :  $P_2 \subset P_1$ ,  $L_2 \subset L_1$ ,  $D_2 \subset D_1$  et  $P_1^u \subset P_2^u$ . On choisit alors  $\hat{L}_1, \hat{L}_2, \hat{P}_1, \hat{P}_2$ ...comme dans la section 5. Nous noterons  $\mathfrak{p}_1^u := \operatorname{Lie}(P_1^u)$  et  $\hat{\mathfrak{p}}_1^u := \operatorname{Lie}(\hat{P}_1^u)$ . Remarquons que :

- le groupe  $D_1$  agit sur  $\hat{P}_1^u$  par conjugaison en laissant stable  $P_1^u$ ; il agit donc sur  $\hat{P}_1^u/P_1^u$ ;
- la variété  $\hat{P}_1^u/P_1^u$  est  $D_1$ -isomorphe à l'espace affine  $\hat{\mathfrak{p}}_1^u/\mathfrak{p}_1^u$  voir [Mon98];
- $D_1$  agit également par multiplication à gauche sur  $\hat{L}_1//\hat{U}_{D_1}^-$  donc sur le produit  $\hat{\mathfrak{p}}_1^u/\mathfrak{p}_1^u \times \hat{L}_1//\hat{U}_{D_1}^-$ .

Proposition 5 On a l'égalité :

$$\mathcal{C}_{\mathcal{F}_2}^{\vee} = \operatorname{Ker}\left(T \times \hat{T} \longrightarrow \operatorname{Aut}((\hat{\mathfrak{p}}_1^u/\mathfrak{p}_1^u \times \hat{L}_1//\hat{U}_{D_1}^-)//[D_1 \cap P_2, D_1 \cap P_2])\right).$$

En particulier (pour  $\mathcal{F}_1 = \mathcal{F}_2 = \mathcal{F}$ ),

$$\mathcal{C}_{\mathcal{F}}^{\vee} = \operatorname{Ker}\left(T \times \hat{T} \longrightarrow \operatorname{Aut}\left(\left(\hat{\mathfrak{p}}^{u}/\mathfrak{p}^{u} \times \hat{L}//\hat{U}_{D}^{-}\right)//D\right)\right);$$

Enfin, pour  $\mathcal{F}=\mathcal{F}_1$  et  $\mathcal{F}_2=\Xi(T)_\mathbb{Q}$ , on obtient :

$$\mathcal{C}^{\vee} = \operatorname{Ker}\left(T \times \hat{T} \longrightarrow \operatorname{Aut}\left(\left(\hat{\mathfrak{p}}^{u}/\mathfrak{p}^{u} \times \hat{L}//\hat{U}_{D}^{-}\right)//U_{D}\right)\right).$$

PREUVE. Rappelons que d'après la proposition 4

$$\mathcal{C}_{\mathcal{F}_2}^{\vee} = \operatorname{Ker}\left(T \times \hat{T} \longrightarrow \operatorname{Aut}([P_2, P_2] \backslash \backslash \hat{G} / / \hat{U}^-)\right).$$

La décomposition de Bruhat de  $\hat{G}$  par rapport au sous-groupe parabolique  $\hat{P}_1$  implique que  $\hat{P}_1\hat{P}_1^{u^-} = \hat{P}_1^u\hat{P}_1^{-} = \hat{P}_1^u\hat{L}_1\hat{P}_1^{u^-}$  est un ouvert de  $\hat{G}$  stable par  $P_2 \times \hat{B}^-$ . Mais alors, les lemmes 5 et 6 montrent que

$$\mathcal{C}_{\mathcal{F}_2}^{\vee} = \operatorname{Ker}\left(T \times \hat{T} \longrightarrow \operatorname{Aut}([P_2, P_2] \backslash \backslash \hat{P}_1^u \hat{L}_1 \hat{P}_1^{u^-} / / \hat{U}^-)\right).$$

Or, le produit dans  $\hat{G}$  induit les trois isomorphismes suivants :  $\hat{U}^- \simeq \hat{P}_1^{u-} \rtimes \hat{U}_{D_1}^-$ ,  $[P_2, P_2] \simeq P_1^u \rtimes [D_1 \cap P_2, D_1 \cap P_2]$  et  $\hat{P}_1^u \hat{L}_1 \hat{P}_1^{u^-} \simeq P_1^u \times \hat{L}_1 \times \hat{P}_1^{u^-}$ . Mais alors,

$$\mathcal{C}_{\mathcal{F}_2}^{\vee} = \operatorname{Ker}\left(T \times \hat{T} \longrightarrow \operatorname{Aut}(\left((P_1^u \backslash \hat{P}_1^u) \times (\hat{L}_1 / / \hat{U}_{D_1}^{-})) / / [D_1 \cap P_2, D_1 \cap P_2])\right).$$

Soit  $\mathfrak{u}$  et  $\hat{\mathfrak{u}}$  les algèbres de Lie de U et  $\hat{U}$ . Le corollaire suivant qui se déduit d'un cas particulier de la proposition 5 permet de calculer la dimension de  $\mathcal{C}$ .

Corollaire 1 On a les égalités :

$$\dim \mathcal{C}^{\vee} = \dim \operatorname{Ker} \left( T \longrightarrow \operatorname{Aut}(\hat{\mathfrak{u}}/\mathfrak{u}) \right) = \dim \operatorname{Ker} \left( T \longrightarrow \operatorname{Aut}(\hat{G}/G) \right),$$

où T agit par conjuguaison sur  $\hat{\mathfrak{u}}/\mathfrak{u}$  et par multiplication à gauche sur  $\hat{G}/G$ . En particulier si G est simple et non distingué dans  $\hat{G}$ , alors  $\dim \mathcal{C}^{\vee} = 0$ .

PREUVE. La première égalité se déduit directement de la proposition 5 appliquée à  $\mathcal{F}_1 = \mathcal{F}_2 = \Xi(T)_{\mathbb{Q}}$ .

Pour la deuxième égalité on remarque tout d'abord que :

$$\operatorname{Ker}\left(T\longrightarrow\operatorname{Aut}(\hat{\mathfrak{g}}/\mathfrak{g})\right)=\operatorname{Ker}\left(T\longrightarrow\operatorname{Aut}(\hat{\mathfrak{g}}/\mathfrak{g})\right),$$

où  $\hat{\mathfrak{g}}$ ,  $\mathfrak{g}$  sont les algèbres de Lie respectives de  $\hat{G}$  et G et où l'action de T sur  $\hat{\mathfrak{g}}/\mathfrak{g}$  est induite par l'action adjointe. D'après Luna [Lun72], il existe un morphisme étale T-équivariant de  $\hat{G}/G$  dans  $\hat{\mathfrak{g}}/\mathfrak{g}$ , et donc d'après le lemme 6, on a égalité :

$$\dim \operatorname{Ker} (T \longrightarrow \operatorname{Aut}(\hat{\mathfrak{g}}/\mathfrak{g})) = \dim \operatorname{Ker} \left( T \longrightarrow \operatorname{Aut}(\hat{G}/G) \right),$$

où T agit sur la variété  $\hat{G}/G$  par conjuguaison. Mais cette action est égale à l'action de T sur  $\hat{G}/G$  par multiplication à gauche.

Pour montrer la dernière assertion, il suffit de remarquer que le noyau de T sur  $\hat{G}/G$  est inclus dans  $\bigcap_{\hat{g}\in\hat{G}}\hat{g}G\hat{g}^{-1}$  qui est un sous-groupe distingué de G et de  $\hat{G}$ .

#### 6.2

Considérons les trois applications finies :

$$\tau: S_1 \times (S_2 \cap T_{D_1})^{\circ} \times T_{D_2} \longrightarrow T, \qquad \hat{\tau}: \hat{S}_1 \times \hat{T}_{D_1} \longrightarrow \hat{T} \\ (s, t, u) \longmapsto stu \qquad (s, t) \longmapsto st$$

et

$$\varphi: \hat{P}_1^u \times \hat{D}_1 \times \hat{S}_1 \longrightarrow \hat{P}_1^u \times \hat{L}_1 \\ (\hat{p}, \hat{d}, \hat{s}) \longmapsto (\hat{p}, \hat{d}\hat{s})$$

On munit  $\hat{P}_1^u \times \hat{D}_1 \times \hat{S}_1$  d'une action de  $\hat{U}_{D_1}^- \times (\hat{P}_1^u D_1)$  par :

$$(\hat{u}, pd).(\hat{p}, \hat{d}, \hat{s}) = (pd\hat{p}d^{-1}, d\hat{d}\hat{u}^{-1}, \hat{s}).$$

On munit enfin  $\hat{P}_1^u \times \hat{D}_1 \times \hat{S}_1$  d'une action du tore  $S_1 \times (S_2 \cap T_{D_1})^\circ \times T_{D_2} \times \hat{S}_1 \times \hat{T}_{D_1}$  (noté  $\mathbb{T}$ ) par :

$$(s_1, s_2, t, \hat{s}_1, \hat{t}_1).(\hat{p}, \hat{d}, \hat{s}) = (s_1 s_2 t \hat{p} t^{-1} s_2^{-1} s_1^{-1}, s_2 t_1 \hat{d} \hat{t}_1^{-1}, s_1 \hat{s} \hat{s}_1^{-1}).$$

On peut maintenant simplifier l'expression de la composante neutre de  $\mathcal{C}_{\mathcal{F}_2}^{\vee}$  :

**Proposition 6** Posons  $H_2 = [D_1 \cap P_2, D_1 \cap P_2]$ . La composante neutre de  $\mathcal{C}_{\mathcal{F}_2}^{\vee}$  est isomorphe à

$$T_{D_2} \times \operatorname{Ker} \left( S_1 \times (S_2 \cap T_{D_1})^{\circ} \times \hat{T}_{D_1} \longrightarrow \operatorname{Aut} \left( \left( \hat{\mathfrak{p}}_1^u / \mathfrak{p}_1^u \times \hat{D}_1 / / \hat{U}_{D_1}^- \right) / / H_2 \right) \right)^{\circ}.$$

PREUVE. Notons  $\mathcal{C}_{\mathcal{F}_2}^{\vee,\circ}$  la composante neutre de  $\mathcal{C}_{\mathcal{F}_2}^{\vee}$ . On munit les variétés  $\hat{\mathfrak{p}}_1^u/\mathfrak{p}_1^u \times \hat{L}_1//\hat{U}_{D_1}^-$  et  $\hat{\mathfrak{p}}_1^u/\mathfrak{p}_1^u \times \hat{D}_1//\hat{U}_{D_1}^- \times S_1$  d'une action du tore  $\mathbb{T}$  grâce à  $\tau$  et  $\hat{\tau}$  et par passage au quotient. L'application  $\varphi$  induit alors une application équivariante dont les fibres sont génériquement finies entre ces deux  $\mathbb{T}$ -variétés. Mais alors, la proposition 5 et le lemme 6 montrent que les composantes neutres de  $\mathcal{C}_{\mathcal{F}_2}^{\vee}$  et de  $\operatorname{Ker}\left(\mathbb{T} \longrightarrow \operatorname{Aut}((\hat{\mathfrak{p}}_1^u/\hat{\mathfrak{p}}_1^u \times \hat{D}_1//\hat{U}_{D_1}^- \times S_1)//H_2)\right)$  sont isomorphes.

Posons  $M = \hat{\mathfrak{p}}_1^u/\mathfrak{p}_1^u \times \hat{D}_1//\hat{U}_{D_1}^-$ . Comme  $H_2$  est inclus dans  $D_1$ ,  $(\hat{\mathfrak{p}}_1^u/\mathfrak{p}_1^u \times \hat{D}_1//\hat{U}_{D_1}^- \times S_1)//H_2$  est isomorphe à  $M//H_2 \times \hat{S}_1$ . Comme  $T_{D_2}$  est inclus dans  $H_2$ , on en déduit que

$$\mathcal{C}_{\mathcal{F}_2}^{\vee,\circ} \simeq \left( T_{D_2} \times \operatorname{Ker} \left( S_1 \times (S_2 \cap T_{D_1})^{\circ} \times \hat{S}_1 \times \hat{T}_{D_1} \longrightarrow \operatorname{Aut}(M//H_2 \times \hat{S}_1) \right) \right)^{\circ},$$

puis que

$$\mathcal{C}_{\mathcal{F}_2}^{\vee,\circ} \simeq T_{D_2} \times \left( \operatorname{Ker} \left( S_1 \times (S_2 \cap T_{D_1})^{\circ} \times \hat{T}_{D_1} \longrightarrow \operatorname{Aut}(M//H_2) \right) \right)^{\circ}$$
.

Pour arriver jusqu'à notre théorème principal, il nous faut maintenant décrire plus précisément le noyau apparaissant dans la proposition 6. Pour s'alléger de notations inutiles, dans la section 8, nous présenterons dans un cadre plus général les résultats qui nous permettent de conclure.

**Théorème 1** Il existe un ouvert non vide  $\Omega$  de  $\hat{\mathfrak{p}}_1^u/\hat{\mathfrak{p}}_1^u \times \hat{D}_1/\hat{B}_{D_1}$  tel que pour tout x dans  $\Omega$ ,  $\mathcal{C}_{\mathcal{F}_2}^{\vee,\circ}$  est isomorphe au produit de  $T_{D_2}$  par la composante neutre de l'isotropie réductive en x du groupe  $L_1 \cap P_2$ .

PREUVE. On applique la proposition 11 à la variété  $\mathbf{M} = \hat{\mathfrak{p}}_1^u/\mathfrak{p}_1^u \times \hat{D}_1//U_{\hat{D}_1}^-$ , au tore  $\mathbf{T} = S_1 \times T_{D_1}$ , au groupe semi-simple  $\mathbf{D} = D_1$  et au sous-groupe parabolique  $\mathbf{P} = P_2 \cap D_1$ . Remarquons qu'alors  $L_2 \cap D_1$  est un Levi de  $\mathbf{P}$  et que son centre connexe est égal à  $\mathbf{S} = S_2$ . On obtient l'existence d'un ouvert non vide  $\Omega$  de  $\hat{\mathfrak{p}}_1^u/\mathfrak{p}_1^u \times \hat{D}_1//U_{\hat{D}_1}^-$  tel que pour tout  $x \in \Omega$ :

$$\operatorname{Ker}\left(S_1 \times (S_2 \cap T_{D_1})^{\circ} \times \hat{T}_{D_1} \longrightarrow \operatorname{Aut}(M//H_2)\right) = \rho(((P_2 \cap D_1) \times S_1 \times T_{D_1})_x).$$

Remarquons que puisque  $\hat{D}_1//U_{\hat{D}_1}^-$  contient  $\hat{D}_1/U_{\hat{D}_1}^-$  comme ouvert, quitte à rétrécir  $\Omega$ , on peut supposer que l'égalité ci-dessus est vrai pour tout  $x \in \Omega \subset \hat{\mathfrak{p}}_1^u/\mathfrak{p}_1^u \times \hat{D}_1/U_{\hat{D}_1}^-$ . On applique ensuite la proposition 12, avec  $\mathbf{D} \subset \hat{\mathbf{D}} = \hat{D}_1$  et  $\mathbf{M} = \hat{\mathfrak{p}}_1^u/\mathfrak{p}_1^u \times \hat{D}_1/U_{\hat{D}_1}$ . On obtient alors que pour  $x = (a,b) \in \hat{\mathfrak{p}}_1^u/\mathfrak{p}_1^u \times \hat{D}_1/U_{\hat{D}_1}$ ,  $\rho(((P_2 \cap D_1) \times S_1 \times T_{D_1})_{(a,b)})$  est isomorphe au quotient de  $(P_2 \cap D_1 \times S_1)_{(a,q(b))}$  par son radical unipotent, où q est l'application quotient de  $\hat{D}_1/U_{\hat{D}_1}^-$  dans  $\hat{D}_1/B_{\hat{D}_1}^-$ . Le théorème suit, en remarquant que  $(P_2 \cap D_1) \times S_1 \simeq P_2 \cap L_1$ .

Corollaire 2 Avec les notations ci-dessus,

$$\delta_{\mathcal{F}_1} \geq \delta_{\mathcal{F}_2}$$

PREUVE. Comme dim  $\mathcal{F}_1$  – dim  $\mathcal{F}_2$  = dim  $T_{D_2}$  – dim  $T_{D_1}$ , on a  $\delta_{\mathcal{F}_1}$  –  $\delta_{\mathcal{F}_2}$  = (dim  $\mathcal{C}_{\mathcal{F}_1}^{\vee}$  – dim  $T_{D_1}$ ) – (dim  $\mathcal{C}_{\mathcal{F}_2}^{\vee}$  – dim  $T_{D_2}$ ). Mais alors, le corollaire découle immédiatement du théorème 1 appliqué une fois à la paire de face  $(\mathcal{F}_1, \mathcal{F}_2)$  et une fois à la paire  $(\mathcal{F}_1, \mathcal{F}_1)$ .

Corollaire 3 Il existe un ouvert non vide  $\Omega$  de  $\hat{\mathfrak{p}}^u/\mathfrak{p}^u \times \hat{D}/\hat{B}_D$  tel que pour tout x dans  $\Omega$ ,  $\delta_{\mathcal{F}}$  est égal à la différence des dimensions des isotropies réductives des groupes L et  $B_L$  en x.

PREUVE. Il suffit d'appliquer le théorème 1 une première fois à la paire de faces  $(\mathcal{F}, \mathcal{F})$  et ensuite à la paire  $(\mathcal{F}, \Xi(T)_{\mathbb{Q}})$ .

Sur les exemples, le théorème 1 sera souvent utiliser via le corollaire suivant :

Corollaire 4 S'il existe un point de  $\hat{\mathfrak{p}}^u/\mathfrak{p}^u \times \hat{D}/\hat{B}_D$  dont l'isotropie dans D est finie, alors  $\mathcal{F}$  est pleine. En particulier, s'il existe un point de  $\hat{G}/\hat{B}$  dont l'isotropie dans le groupe dérivé de G est finie, alors toutes les faces de  $\mathcal{D}$  sont pleines.

PREUVE. Soit  $\Omega$  un ouvert de  $\hat{\mathfrak{p}}^u/\mathfrak{p}^u \times \hat{D}/\hat{B}_D$  vérifiant le corollaire 3. Comme l'ensemble des points dont l'isotropie pour D est fini est un ouvert, il existe  $x \in \Omega$  tel que  $D_x$  soit fini. Mais alors,  $L_x^{\circ}$  est inclus dans le centre de L et donc dans  $B_L$  et  $\mathcal{F}$  est pleine. S'il existe  $x \in \hat{G}/\hat{B}$  dont l'isotropie pour D est finie, nous venons de montrer que la face  $\{0\}$  est pleine. Mais alors, le corollaire 2 montre que toutes les faces sont pleines.

## 7 Exemples

Exemple 1. Le produit tensoriel.

**Proposition 7** Soit G un groupe simple. Pour l'inclusion diagonale de G dans  $G \times G$  toutes les faces non réduites à un point sont pleines. De plus,  $\delta_{\{0\}}$  est égal au rang de G.

DÉMONSTRATION. Fixons un sous-groupe de Borel B de G et un tore maximal T de B. Soit  $\mathcal{F}$  une face de l'ensemble des poids dominants de (G,B,T). Notons P le sous-groupe parabolique de G associé à la face  $\mathcal{F}$ , L son sous-groupe de Levi contenant T et enfin D le sous-groupe dérivé de L. Posons :

$$B_D = B \cap D$$
  $\hat{P} = P \times P$   $\hat{D} = D \times D$   $\hat{B} = B \times B$   $\hat{B}_D = B_D \times B_D$ .

Alors,  $\hat{B}_D \subset \hat{D} \subset \hat{P} \subset \hat{G}$  satisfont aux propriétés de la section 5. De plus,  $M = \mathfrak{p}^u \times D/B_D \times D/B_D$ .

En particulier, l'isotropie générique I de D agissant sur M est égale à celle de  $T_D$  agissant sur  $\mathfrak{p}_u$ . Soit  $P^-$  le sous-groupe parabolique contenant T et opposé à P. Comme  $\mathfrak{p}_u$  est isomorphe à un ouvert T-stable de  $G/P^-$ , I est égale au noyau de l'action de  $T_D$  dans  $G/P^-$ , c'est-à-dire à  $\bigcap_{g\in G} gP^-g^{-1}\cap T_D$ . Comme G est simple cette dernière est finie à moins que  $P^-=G$ , c'est-à-dire à moins que  $\mathcal{F}=\{0\}$ .

Supposons maintenant que  $\mathcal{F} = \{0\}$ . Alors,  $M = G/B \times G/B$ . Donc, l'isotropie générique de D = G sur M est un tore maximal de G alors que celle de B est finie. Le corollaire 3 achève alors la démonstration.

**Exemple 2.** Soit V un k-espace vectoriel de dimension au moins deux. Considérons le morphisme  $i: Sl(V) \to Sl(S^2V)$ . On a :

**Proposition 8** Pour l'inclusion de G = i(Sl(V)) dans  $\hat{G} = Sl(S^2V)$ , toutes les faces sont pleines.

D'après le corollaire 4, il suffit de montrer le

**Lemme 7** Il existe un drapeau complet de  $S^2V$  dont l'isotropie pour Sl(V) est finie.

PREUVE. Nous allons construire un drapeau complet  $\Omega$  de  $S^2V^*$  dont le groupe d'isotropie H est fini. Son orthogonal vérifiera la propriété du lemme. Soit  $\mathcal{B} = (e_1, \dots, e_n)$  une base de V et  $(e_1^*, \dots, e_n^*)$  sa base duale, le premier sous-espace du drapeau  $\Omega$  est la droite engendrée par  $\omega_0 = \Sigma e_i^{*2} \in S^2V^*$ . La composante neutre du groupe d'isotropie de cette droite est SO(V). Il suffit donc de montrer que l'intersection  $H \cap SO(V)$  est finie. Si  $\omega$  est un élément quelconque de  $S^2V^*$ , on définit :

$$\tilde{\omega}: V \to V^*$$
 $x \mapsto \omega(x,.).$ 

Comme  $\omega_0$  est non dégénérée,  $\tilde{\omega}_0$  est un isomorphisme SO(V)-équivariant. Ce qui nous permet de définir une application :

$$\varphi: S^2V^* \to \operatorname{End}(V)$$

$$\omega \mapsto \tilde{\omega}_0^{-1} \circ \tilde{\omega}.$$

L'application  $\varphi$  est un isomorphisme linéaire SO(V)-équivariant (l'action sur l'espace de droite est donnée par la conjugaison). Soit  $\omega_1 = \Sigma i e_i^{*2}$ . On voit alors que  $\varphi(\omega_0)$  est l'identité de V et que  $e_i$  est vecteur propre de  $\varphi(\omega_1)$  pour la valeur propre i. Le stabilisateur du drapeau  $<\omega_0>\subset<\omega_0,\omega_1>$  dans SO(V) est alors composé des éléments  $g\in SO(V)$  tel qu'il existe  $a,b\in k$  vérifiant  $g.\varphi(\omega_1)=\varphi(a\omega_0+b\omega_1)$ . La matrice de  $\varphi(a\omega_0+b\omega_1)$  dans  $\mathcal{B}$  est une matrice diagonale de valeurs propres  $\{a+bi:i=1,\cdots,n\}$ . Cet ensemble est égal à l'ensemble des valeurs propres de  $g.\varphi(\omega_1)$  (donc de  $\varphi(\omega_1)$  soit  $\{1,\cdots,n\}$ ). On en déduit que ou bien a=0 et b=1, ou bien a=1+n et b=-1; puis que la composante neutre du groupe d'isotropie de  $<\omega_0>\subset<\omega_0,\omega_1>$  est inclus dans l'ensemble des matrices diagonales. Comme par ailleurs elle est inclus dans SO(V), elle est triviale. Le lemme suit alors facilement.

**Exemple 3.** Nous allons ici regarder l'exemple donné par le morphisme  $i: \mathrm{Sl}(V) \to \mathrm{Sl}(\Lambda^2 V)$ . On pose alors  $G = i(\mathrm{Sl}(V) \text{ et } \hat{G} = \mathrm{Sl}(\Lambda^2 V)$ . Si  $\dim V = 2$ , alors  $\Lambda^2 V \simeq k$  et  $\hat{G}$  est trivial; si  $\dim V = 3$ , alors  $\Lambda^2 V \simeq V^*$  et  $G = \hat{G}$ . On suppose donc que  $\dim V \geq 4$ .

**Proposition 9** Si dim  $V \geq 4$ , alors pour l'inclusion de G = i(Sl(V)) dans  $\hat{G} = Sl(\Lambda^2 V)$ , toutes les faces de  $\mathcal{D}$  sont pleines.

Comme dans l'exemple précédent, la proposition est une conséquence du

**Lemme 8** Si dim  $V \ge 4$ , alors il existe un drapeau de  $\Lambda^2(V^*)$  dont l'isotropie dans Sl(V) est finie.

PREUVE. Dans  $\Lambda^2(V^*)$ , il existe un élément non dégénéré si et seulement si dim V est paire. Commençons par le cas où dim V est paire. On pose alors dim V=2p et on fixe une base  $\mathcal{B}=(e_1,\cdots,e_p,\varepsilon_1,\cdots,\varepsilon_p)$  de V et  $\mathcal{B}^*=(e_1^*,\cdots,e_p^*,\varepsilon_1^*,\cdots,\varepsilon_p^*)$  sa base duale. On pose alors  $\omega_0=\Sigma_{i=1}^pe_i^*\wedge\varepsilon_i^*$ . Soit  $H_0$  la composante neutre de l'isotropie de la droite engendrée par  $\omega_0$ . Comme  $H_0\subset\operatorname{Sl}(V)$ , on voit que  $H_0=\operatorname{Sp}(\omega_0)$ . Comme dans la démonstration du lemme 7, on définit pour tout  $\omega\in\Lambda^2V^*$  une application  $\tilde{\omega}:V\longrightarrow V^*, x\longmapsto\omega(x,\cdot)$ . On définit alors l'application linéaire,  $\operatorname{Sp}(\omega_0)$ -équivariante  $\varphi:\Lambda^2V^*\longrightarrow\operatorname{End}(V), \omega\longmapsto\tilde{\omega}_0^{-1}\circ\tilde{\omega}$ .

Soit  $\omega_1 = \sum_{i=1}^p i e_i^* \wedge \varepsilon_i^*$ ;  $\varphi(\omega_1)$  admet  $i = 1, \dots, p$  comme valeurs propres, et  $(e_i^*, \varepsilon_i^*)$  engendre le sous-espace propre associé à i. Par un raisonnement analogue à l'exemple précédent, on montre alors que la composante neutre du sous-groupe d'isotropie du drapeau :  $<\omega_0> \subset <\omega_0, \omega_1>$  est l'ensemble des matrices de  $\mathrm{Sp}(V)$  préservant les sous-espaces  $W_i:=< e_i^*, \varepsilon_i^*>$ . Cette composante neutre est donc isomorphe au produit :  $\prod_{i=1}^p \mathrm{Sl}(W_i)$ . Sous l'action de ce groupe, l'espace  $\Lambda^2 V^*$  se décompose en représentations irréductibles :

$$\Lambda^2 V^* = \bigoplus_{i=1}^p \Lambda^2 W_i \oplus \bigoplus_{1 \le i < j \le p} W_i \otimes W_j .$$

La suite de la construction du drapeau se fait en considérant dans l'espace dual  $\Lambda^2(V^*)^* \simeq \Lambda^2 V$  des vecteurs  $\omega_3^*, \omega_4^*, \cdots$  dont l'orthogonal dans  $\Lambda^2 V^*$  contient  $<\omega_0, \omega_1>$ . À cause de la décomposition ci-dessus, de tels vecteurs peuvent être pris dans  $\bigoplus_{1\leq i< j\leq p} W_i^*\otimes W_j^*$ . Grâce à cette décomposition, on peut également supposer que p=2. Pour  $\mathrm{Sl}(W)\times \mathrm{Sl}(W)$ , l'espace  $W\otimes W$  est isomorphe à l'espace  $\mathrm{End}(W)$ . À indice finie près l'isotropie de la droite engendrée par l'application identité est le groupe  $\mathrm{Sl}(W)$  inclus diagonalement dans  $\mathrm{Sl}(W)\times \mathrm{Sl}(W)$  et qui agit sur  $\mathrm{End}(W)$  par conjugaison. Comme  $\mathrm{Sl}(W)$ -représentation  $\mathrm{End}(W)$  se décompose comme la somme de la représentation triviale et de la représentation adjointe. Le problème se ramène donc à exhiber un drapeau de cette représentation adjointe d'isotropie finie. Soit H et F les éléments suivants :

$$H = \left(\begin{array}{cc} 1 & 0 \\ 0 & -1 \end{array}\right) F = \left(\begin{array}{cc} 0 & 1 \\ 1 & 0 \end{array}\right)$$

(dans une base quelconque de W). Alors il est immédiat que le drapeau suivant  $:< H > \subset < H, F >$  a une isotropie finie dans Sl(W).

Supposons maintenant que la dimension de V est impaire et égale à 2p+1, avec  $p \geq 2$ . Soit  $\mathcal{B} = (e_1, \dots, e_p, \varepsilon_1, \dots, \varepsilon_p, \kappa)$  une base de V. Nous noterons W le sous-espace vectoriel de V de base  $(e_1, \dots, e_p, \varepsilon_1, \dots, \varepsilon_p)$ .

Rappelons qu'on a une injection Gl(V)-équivariante de  $\Lambda^2V^*$  dans  $Hom(V^*, V)$ . Soient  $\omega_0$ ,  $\omega_1$  et  $\omega_2$  les éléments de  $Hom(V^*, V)$  dont les matrices dans les bases  $\mathcal{B}^*$ ,  $\mathcal{B}$  sont :

$$\omega_0 = \begin{pmatrix} 0 & I & 0 \\ -I & 0 & 0 \\ 0 & 0 & 0 \end{pmatrix} \omega_1 = \begin{pmatrix} 0 & D & {}^tV \\ -D & 0 & 0 \\ -V & 0 & 0 \end{pmatrix} \omega_2 = \begin{pmatrix} 0 & D' & 0 \\ -D' & 0 & {}^tV \\ 0 & -V & 0 \end{pmatrix}$$

où I désigne la matrice identité de taille  $p \times p$ , D la matrice diagonale avec comme termes diagonaux :  $1, 2, \dots, p$ , V le vecteur  $(1, \dots, 1) \in k^p$  et D' une matrice de  $M_p(k)$  telle que

les matrices I, D, D' soient linéairement indépendantes. Nous allons maintenant définir un hyperplan de  $\Lambda^2 V^*$  contenant les vecteurs  $\omega_0, \omega_1$  et  $\omega_2$  ce qui revient à définir une droite de  $\Lambda^2 V^{**}$ , qui s'identifie à  $\Lambda^2 V$  et donc à un sous-espace de  $\operatorname{Hom}(V, V^*)$ . Remarquons que la dualité entre  $\Lambda^2 V$  et  $\Lambda^2 V^*$  est la restriction de l'application bilinéaire suivante :

$$\begin{array}{cccc} \operatorname{Hom}(V,V^*) \times \operatorname{Hom}(V^*,V) & \longrightarrow & k \\ (A,B) & \longmapsto & \operatorname{trace}(B \circ A) \end{array}$$

Soit  $\theta \in \text{Hom}(V^*, V)$  défini par :

$$\left(\begin{array}{ccc}
0 & U & 0 \\
-U & 0 & 0 \\
0 & 0 & 0
\end{array}\right)$$

avec U une matrice telle que  $\operatorname{tr}(U) = \operatorname{tr}(UD) = \operatorname{tr}(UD') = 0$ , (ce choix est possible puisque  $p \geq 2$  et donc  $\dim \operatorname{M}_p(k) \geq 4$ ). On a alors que  $<\omega_0, \omega_1, \omega_2> \subset \ker \theta$ . Considérons donc le drapeau partiel :

$$\Omega = (\langle \omega_0 \rangle \subset \langle \omega_0, \omega_1 \rangle \subset \langle \omega_0, \omega_1, \omega_2 \rangle \subset \ker \theta)$$
.

Comme  $\ker \theta = k\kappa^*$  et  $\ker \omega_0 = k.\kappa$  le groupe d'isotropie de ce drapeau est inclus dans le groupe  $Gl(W) \times Gl(k.\kappa)$ . Ce groupe respecte la décomposition  $\Lambda^2 V^* = \Lambda^2 W^* \oplus W^* \otimes k.\kappa^*$ . Les éléments  $\omega_0$  et  $\omega_1$  s'écrivent dans  $\Lambda^2 V^*$ :

$$\omega_0 = \Sigma_{i=1}^p e_i^* \wedge \varepsilon_i^* \quad \text{et} \quad \omega_1 = \Sigma_{i=1}^p i e_i^* \wedge \varepsilon_i^* + \kappa^* \wedge (e_1^* + \dots + e_n^*)$$

On en déduit qu'un élément du stabilisateur dans  $Gl(W) \times Gl(k\kappa)$  du drapeau :  $<\omega_0> \subset <\omega_0, \omega_1>$  stabilise le drapeau de  $\Lambda^2W^*$  :  $<\omega_0> \subset <\omega_0, \Sigma ie_i^* \wedge \varepsilon_i^*>$  et la droite engendrée par  $\kappa^* \wedge (e_1^*+\cdots+e_n^*)$ . En utilisant cette propriété et le cas de la dimension paire, on en déduit que la composante neutre du groupe d'isotropie du drapeau  $\mathcal{D}$  est inclus dans le groupe composé des matrices de la forme :

$$\left(\begin{array}{ccc}
\lambda^{p+1}I & 0 & 0 \\
Z & \lambda^{-p}I & 0 \\
0 & 0 & \lambda^{-p}
\end{array}\right)$$

où  $\lambda \in k^*$  et Z est une matrice de taille  $p \times p$  diagonale. Ensuite on écrit matriciellement que de tels éléments envoient  $\omega_2$  dans  $<\omega_0,\omega_1,\omega_2>$ . En utilisant notamment le fait que les matrices I,D,D' sont linéairement indépendantes, on déduit que la composante neutre de l'isotropie du drapeau  $\Omega$  est triviale.

**Exemple 4.** Soient E, F deux k-espaces vectoriels de dimensions finies ; le groupe  $Gl(E) \times Gl(F)$  agit sur  $E \otimes F$ . On a donc un morphisme  $i : Gl(E) \times Gl(F) \to Gl(E \otimes F)$ . On pose  $\hat{G} = Gl(E \otimes F)$  et  $G = i(Gl(E) \times Gl(F))$ . On a alors la

**Proposition 10** Dans la situation ci-dessus, toutes les faces sont pleines.

Preuve. La démonstration qui est analogue aux deux exemples précédents est ici omise.

### 8 Résultats Annexes

#### 8.1

Soit  $\mathbf{T}$  un tore,  $\mathbf{D}$  un groupe semi-simple et  $\mathbf{M}$  une  $\mathbf{T} \times \mathbf{D}$ -variété. Soit  $\mathbf{P}$  un sous-groupe parabolique de  $\mathbf{D}$ ,  $\mathbf{H}$  son sous-groupe dérivé et  $\mathbf{S}$  le centre connexe d'un sous-groupe de Levi de  $\mathbf{P}$ .

Notons  $\rho: \mathbf{P} \times \mathbf{T} \longrightarrow \mathbf{S} \times \mathbf{T}$ , l'application qui au couple  $(p,t) \in \mathbf{P} \times \mathbf{T}$  associe le couple  $(s,t) \in \mathbf{S} \times \mathbf{T}$  où s vérifie  $s^{-1}p \in \mathbf{H}$ .

**Proposition 11** Avec les notations introduites ci-dessus, on suppose que M est factorielle et que M/H existe.

Alors, il existe un ouvert non vide  $\Omega$  de  $\mathbf{M}$  tel que pour tout x dans  $\Omega$ 

$$\operatorname{Ker}\left(\mathbf{S}\times\mathbf{T}\longrightarrow\operatorname{Aut}(\mathbf{M}//\mathbf{H})\right)=\rho\left((\mathbf{P}\times\mathbf{T})_{x}\right).$$

PREUVE. Notons  $\pi: \mathbf{M} \longrightarrow \mathbf{M}//\mathbf{H}$  l'application quotient. D'après les lemmes 4 et 2, il existe un ouvert non vide  $\Omega_1$  de  $\mathbf{M}//\mathbf{H}$  tel que pour tout z dans  $\Omega_1$ ,  $\pi^{-1}(z)$  contient une unique orbite ouverte de  $\mathbf{H}$ . Quitte à remplacer  $\Omega_1$  par un ouvert plus petit, on peut supposer de plus que pour tout z dans  $\Omega_1$ ,  $(\mathbf{S} \times \mathbf{T})_z$  est égal à  $\operatorname{Ker}(\mathbf{S} \times \mathbf{T} \longrightarrow \operatorname{Aut}(\mathbf{M}//\mathbf{H}))$  en vertu du lemme 6.

L'ensemble  $\Omega_2$  des points x de  $\mathbf{M}$  tels que la dimension de  $\mathbf{H}.x$  soit maximale est un ouvert non vide de  $\mathbf{M}$ . Posons  $\Omega = \Omega_2 \cap \pi^{-1}(\Omega_1)$ .

Soit  $x \in \Omega$ . Posons  $z = \pi(x)$ . Nous affirmons que :

$$(\mathbf{S} \times \mathbf{T})_z = \{(s,t) \in \mathbf{S} \times \mathbf{T} : (s,t).x \in \mathbf{H}.x\}.$$

En effet,  $(\mathbf{S} \times \mathbf{T})_z$  stabilise  $\pi^{-1}(z)$  et permute les orbites de  $\mathbf{H}$ . Or,  $\mathbf{H}.x$  est l'unique orbite ouverte de  $\mathbf{H}$  dans  $\pi^{-1}(z)$ . Donc,  $(\mathbf{S} \times \mathbf{T})_z$  stabilise  $\mathbf{H}.x$ .

Enfin, pour tout  $(s,t) \in \mathbf{S} \times \mathbf{T}$ , on a :

$$(s,t).x \in \mathbf{H}.x \iff \exists h \in \mathbf{H} \quad st.x = h.x$$
  
 $\iff \exists h \in \mathbf{H} \quad (hs,t).x = x$   
 $\iff (s,t) \in \rho\left((\mathbf{P} \times \mathbf{T})_x\right).$ 

#### 8.2

On conserve les notations de la section 8.1. On suppose de plus que :

- ullet D est un sous-groupe d'un groupe semi-simple  $\hat{\mathbf{D}}$ .
- $\mathbf{T}$  est le produit d'un tore  $\mathbf{T}_1$  est d'un tore maximal  $\hat{\mathbf{T}}$  de  $\hat{\mathbf{D}}$ .
- M est le produit d'une  $\mathbf{T}_1 \times \mathbf{D}$ -variété V et de  $\hat{\mathbf{D}}/\hat{\mathbf{U}}$ , où  $\hat{\mathbf{U}}$  est un sous-groupe unipotent maximal de  $\hat{\mathbf{D}}$ .

•  $\mathbf{T}_1 \times \hat{\mathbf{T}} \times \mathbf{D}$  agit sur  $\hat{\mathbf{D}}/\hat{\mathbf{U}}$  par :  $(t, \hat{t}, d).\hat{d}\hat{\mathbf{U}} = d\hat{d}\hat{t}^{-1}\hat{\mathbf{U}}.$ 

Soit  $\hat{\mathbf{B}}$  le sous-groupe de Borel de  $\hat{\mathbf{D}}$  contenant  $\hat{\mathbf{U}}$ . Considérons l'application  $\hat{\mathbf{D}}$ -équivariante  $q:\hat{\mathbf{D}}/\hat{\mathbf{U}}\longrightarrow\hat{\mathbf{D}}/\hat{\mathbf{B}}$ .

Dans ce cas, la proposition 11 est complétée par la

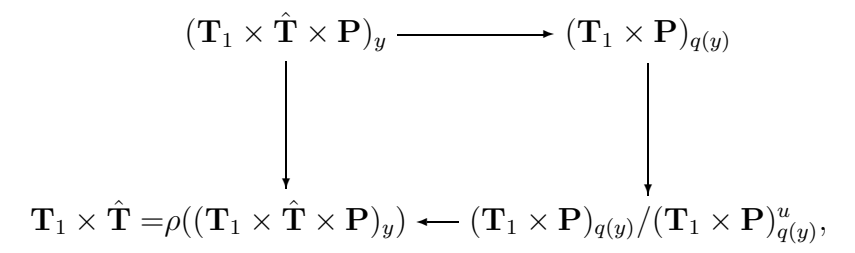
**Proposition 12** Conservons les notations ci-dessus. Soit  $x \in X$  et  $y \in \hat{\mathbf{D}}/\hat{\mathbf{U}}$ . Alors,  $\rho\left((\mathbf{P} \times \mathbf{T})_{(x,y)}\right)$  est isomorphe au quotient de  $(\mathbf{P} \times \mathbf{T}_1)_{(x,q(y))}$  par son radical unipotent.

PREUVE. Considérons la projection  $p: \mathbf{P} \times \mathbf{T}_1 \times \hat{\mathbf{T}} \longrightarrow \mathbf{P} \times \mathbf{T}_1$ . Remarquons tout d'abord que comme chaque fibre de q est isomorphe à  $\hat{\mathbf{T}}$ , p induit un isomorphisme de  $(\mathbf{P} \times \mathbf{T}_1 \times \hat{\mathbf{T}})_y$  sur  $(\mathbf{P} \times \mathbf{T}_1)_{q(y)}$ .

Montrons par ailleurs que  $\rho$  induit un isomorphisme de  $(\mathbf{P} \times \mathbf{T}_1 \times \hat{\mathbf{T}})_y/(\mathbf{P} \times \mathbf{T}_1 \times \hat{\mathbf{T}})_y^u$ sur  $\rho((\mathbf{P} \times \mathbf{T}_1 \times \hat{\mathbf{T}})_y)$ .

Comme l'action de  $\mathbf{P}$  sur  $\hat{\mathbf{D}}/\hat{\mathbf{U}}_{\mathbf{D}}^{-}$  est la restriction de celle de  $\hat{\mathbf{D}}$ ,  $\mathbf{P}_{y}$  est unipotent. Donc,  $\mathbf{P}_{y}$  est inclus dans  $(\mathbf{P}\times\mathbf{T}_{1}\times\hat{\mathbf{T}})_{y}^{u}$ . En particulier, le noyau de la restriction de  $\rho$  à  $(\mathbf{P}\times\mathbf{T}_{1}\times\hat{\mathbf{T}})_{y}^{u}$  est inclus dans  $(\mathbf{P}\times\mathbf{T}_{1}\times\hat{\mathbf{T}})_{y}^{u}$ . L'inclusion réciproque est vrai car  $\rho\left((\mathbf{P}\times\mathbf{T}_{1}\times\hat{\mathbf{T}})_{y}^{u}\right)$  est un sous-groupe unipotent d'un tore : il est donc trivial.

Mais alors, sur le diagramme commutatif suivant :



les flèches horizontales sont des isomorphismes. On obtient alors l'isomorphisme recherché par restriction à  $(\mathbf{T}_1 \times \hat{\mathbf{T}} \times \mathbf{P})_{(x,y)}$  grâce à l'

Affirmation : Soit R un groupe résoluble connexe et R' un sous-groupe de R. Alors,  $R'^u = R' \cap R^u$ .

Le sous-groupe  $R' \cap R^u$  est distingué dans R' et unipotent : il est donc inclus dans  $R'^u$ . Par ailleurs,  $R'/(R' \cap R^u)$  s'injecte dans  $R/R^u$  qui est un tore. Donc,  $R'/(R' \cap R^u)$  est réductif et  $(R' \cap R^u) \subset R'^u$ .

## References

- [Bri87] M. BRION «Sur l'image de l'application moment», in Séminaire d'algèbre Paul Dubreil et Marie-Paule Malliavin (Paris, 1986), Lecture Notes in Math., vol. 1296, Springer, Berlin, 1987, p. 177–192.
- [Bri99] —, «On the general faces of the moment polytope», Internat. Math. Res. Notices (1999), no. 4, p. 185–201.

- [BS00] A. BERENSTEIN & R. SJAMAAR « Coadjoint orbits, moment polytopes, and the Hilbert-Mumford criterion », J. Amer. Math. Soc. 13 (2000), no. 2, p. 433–466 (electronic).
- [KTW04] A. KNUTSON, T. TAO & C. WOODWARD «The honeycomb model of  $GL_n(\mathbb{C})$  tensor products. II. Puzzles determine facets of the Littlewood-Richardson cone », J. Amer. Math. Soc. 17 (2004), no. 1, p. 19–48 (electronic).
- [Èla92] A. G. ÈLASHVILI «Invariant algebras», in *Lie groups, their discrete subgroups, and invariant theory*, Adv. Soviet Math., vol. 8, Amer. Math. Soc., Providence, RI, 1992, p. 57–64.
- [Lun72] D. Luna «Sur les orbites fermées des groupes algébriques réductifs », *Invent. Math.* **16** (1972), p. 1–5.
- [Man97] L. MANIVEL « Applications de Gauss et pléthysme », Ann. Inst. Fourier (Grenoble) 47 (1997), no. 3, p. 715–773.
- [Mon98] P.-L. Montagard «Sur les faces du cône associé au pléthysme», Comm. Algebra **26** (1998), no. 7, p. 2321–2336.
- [Nes84] L. NESS «A stratification of the null cone via the moment map», Amer. Jour. of Math. 106 (1984), p. 1281–1325.
- [PV91] V. L. POPOV & É. B. VINBERG «Algebraic Geometry IV», Encyclopedia of Mathematical Sciences, vol. 55, ch. Invariant Theory, p. 123–284, Encyclopedia of Mathematical Sciences, Springer-Verlag, 1991.
- [Zel99] A. ZELEVINSKY «Littlewood-Richardson semigroups», in New perspectives in algebraic combinatorics (Berkeley, CA, 1996–97), Math. Sci. Res. Inst. Publ., vol. 38, Cambridge Univ. Press, Cambridge, 1999, p. 337–345.

